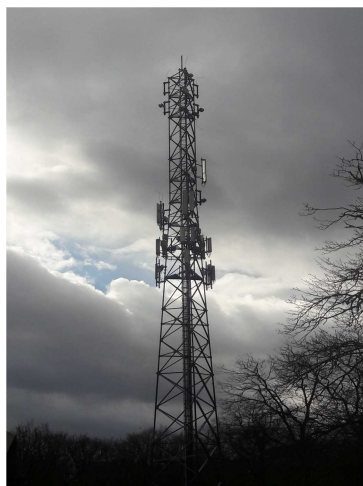


**UZUPEŁNIENIE DO SPRAWOZDANIA Z POMIARÓW PÓL ELEKTROMAGNETYCZNYCH
DLA CELÓW OCHRONY ŚRODOWISKA
nr 12/03/OŚ/2020**



Obiekt: instalacja radiokomunikacyjna
Nazwa obiektu: BT30518 WRO_KOZANÓW
Adres: ul. Wejherowska 2, Wrocław

opracowała:
Paulina Pietrzak



autoryzował:
mgr inż. Edward Szczepaniuk



2020-03-12

Wyniki pomiarów dla celów ochrony środowiska

Niepewność rozszerzona pomiaru składowej elektrycznej wynosi 43,54% przy poziomie ufności 95% i współczynniku rozszerzenia $k=2$. Wyniki pomiarów pól elektromagnetycznych dla celów ochrony środowiska przedstawia tabela poniżej.

Tabela 1. Zestawienie wyników

nr pionu	E – wartość zmierzona	ΔE – niepewność pomiarowa	H – wartość zmierzona/obliczona	ΔH – niepewność pomiarowa	Wysokość pomiarowa	Współrzędne geograficzne	Poprawka pomiarowa	WME	WMH	Opis pionu pomiarowego
Lp.	[V/m]	[V/m]	[A/m]	[A/m]	[m]			-	-	-
1	2,1	0,9	0,006	-	2	-	1,65	0,12	0,12	magazyn, w wejściu
2	1,9	0,8	0,005	-	2	51°7'58.46"N 16°59'11.9"E	1,65	0,11	0,11	otoczenie stacji bazowej – azymut 70° wzdłuż głównej osi promieniowania
3	1,2	0,5	0,003	-	2	51°7'59.25"N 16°59'13.0"E	1,65	0,07	0,07	otoczenie stacji bazowej – azymut 70° wzdłuż głównej osi promieniowania
4	0,9	0,4	0,002	-	2	51°7'59.49"N 16°59'14.46"E	1,65	0,05	0,05	otoczenie stacji bazowej – azymut 70° wzdłuż głównej osi promieniowania
5	0,9	0,4	0,002	-	2	51°7'59.17"N 16°59'15.47"E	1,65	0,05	0,05	otoczenie stacji bazowej – azymut 70° wzdłuż głównej osi promieniowania
6	1,2	0,5	0,003	-	2	51°8'0.7"N 16°59'17.28"E	1,65	0,07	0,07	otoczenie stacji bazowej – azymut 70° wzdłuż głównej osi promieniowania
7	1,7	0,7	0,005	-	2	51°8'0.34"N 16°59'18.24"E	1,65	0,10	0,10	otoczenie stacji bazowej – azymut 70° wzdłuż głównej osi promieniowania
8	1,3	0,6	0,003	-	2	51°8'0.4"N 16°59'20.35"E	1,65	0,07	0,07	otoczenie stacji bazowej – azymut 70° wzdłuż głównej osi promieniowania
9	p.cz.*	-	-	-	2	51°8'0.30"N 16°59'21.32"E	1,65	-	-	otoczenie stacji bazowej – azymut 70° wzdłuż głównej osi promieniowania
10	p.cz.*	-	-	-	2	51°8'1.19"N 16°59'23.4"E	1,65	-	-	otoczenie stacji bazowej – azymut 70° wzdłuż głównej osi promieniowania
11	p.cz.*	-	-	-	2	51°8'1.48"N 16°59'24.13"E	1,65	-	-	otoczenie stacji bazowej – azymut 70° wzdłuż głównej osi promieniowania
12	p.cz.*	-	-	-	2	51°8'2.20"N 16°59'26.34"E	1,65	-	-	otoczenie stacji bazowej – azymut 70° wzdłuż głównej osi promieniowania
13	p.cz.*	-	-	-	2	51°8'2.49"N 16°59'27.40"E	1,65	-	-	otoczenie stacji bazowej – azymut 70° wzdłuż głównej osi promieniowania
14	p.cz.*	-	-	-	2	51°8'3.12"N 16°59'27.1"E	1,65	-	-	otoczenie stacji bazowej
15	p.cz.*	-	-	-	2	51°8'2.35"N 16°59'25.20"E	1,65	-	-	otoczenie stacji bazowej
16	p.cz.*	-	-	-	2	51°8'2.1"N 16°59'23.38"E	1,65	-	-	otoczenie stacji bazowej
17	p.cz.*	-	-	-	2	51°8'1.23"N 16°59'27.37"E	1,65	-	-	otoczenie stacji bazowej
18	p.cz.*	-	-	-	2	51°8'1.45"N 16°59'26.56"E	1,65	-	-	otoczenie stacji bazowej
19	p.cz.*	-	-	-	2	51°8'0.5"N 16°59'24.7"E	1,65	-	-	otoczenie stacji bazowej
20	0,8	0,3	0,002	-	2	51°8'1.34"N 16°59'20.32"E	1,65	0,05	0,05	otoczenie stacji bazowej
21	0,9	0,4	0,002	-	2	51°8'1.49"N 16°59'17.50"E	1,65	0,05	0,05	otoczenie stacji bazowej
22	0,9	0,4	0,002	-	2	51°8'0.5"N 16°59'21.13"E	1,65	0,05	0,05	otoczenie stacji bazowej
23	0,8	0,3	0,002	-	2	51°7'59.16"N 16°59'19.39"E	1,65	0,05	0,05	otoczenie stacji bazowej
24	1,0	0,4	0,003	-	2	51°8'0.30"N 16°59'14.42"E	1,65	0,06	0,06	otoczenie stacji bazowej
25	1,1	0,5	0,003	-	2	51°7'58.29"N 16°59'16.55"E	1,65	0,06	0,06	otoczenie stacji bazowej
26	0,9	0,4	0,002	-	2	51°7'58.14"N 16°59'13.55"E	1,65	0,05	0,05	otoczenie stacji bazowej
27	0,8	0,3	0,002	-	2	51°7'57.2"N 16°59'10.58"E	1,65	0,05	0,05	otoczenie stacji bazowej
28	0,7	0,3	0,002	-	2	51°7'56.9"N 16°59'10.15"E	1,65	0,04	0,04	otoczenie stacji bazowej
29	1,0	0,4	0,003	-	2	51°7'55.46"N 16°59'9.34"E	1,65	0,06	0,06	otoczenie stacji bazowej

nr pionu	E – wartość zmierzona	ΔE – niepewność pomiarowa	H – wartość zmierzona/obliczona	ΔH – niepewność pomiarowa	Wysokość pomiarowa	Współrzędne geograficzne	Poprawka pomiarowa	WME	WMH	Opis pionu pomiarowego
Lp.	[V/m]	[V/m]	[A/m]	[A/m]	[m]			-	-	-
30	1,2	0,5	0,003	-	2	51°7'56.58"N 16°59'8.57"E	1,65	0,07	0,07	otoczenie stacji bazowej – azymut 180° wzdłuż głównej osi promieniowania
31	1,3	0,6	0,003	-	2	51°7'56.55"N 16°59'8.57"E	1,65	0,07	0,07	otoczenie stacji bazowej – azymut 180° wzdłuż głównej osi promieniowania
32	1,2	0,5	0,003	-	2	51°7'55.7"N 16°59'8.57"E	1,65	0,07	0,07	otoczenie stacji bazowej – azymut 180° wzdłuż głównej osi promieniowania
33	1,2	0,5	0,003	-	2	51°7'54.54"N 16°59'8.57"E	1,65	0,07	0,07	otoczenie stacji bazowej – azymut 180° wzdłuż głównej osi promieniowania
34	1,1	0,5	0,003	-	2	51°7'53.23"N 16°59'8.57"E	1,65	0,06	0,06	otoczenie stacji bazowej – azymut 180° wzdłuż głównej osi promieniowania
35	1,0	0,4	0,003	-	2	51°7'52.22"N 16°59'8.57"E	1,65	0,06	0,06	otoczenie stacji bazowej – azymut 180° wzdłuż głównej osi promieniowania
36	0,5	0,2	0,001	-	2	51°7'51.5"N 16°59'8.57"E	1,65	0,03	0,03	otoczenie stacji bazowej – azymut 180° wzdłuż głównej osi promieniowania
37	0,6	0,3	0,002	-	2	51°7'50.44"N 16°59'8.57"E	1,65	0,03	0,03	otoczenie stacji bazowej – azymut 180° wzdłuż głównej osi promieniowania
38	0,6	0,3	0,002	-	2	51°7'50.25"N 16°59'8.57"E	1,65	0,03	0,03	otoczenie stacji bazowej – azymut 180° wzdłuż głównej osi promieniowania
39	0,7	0,3	0,002	-	2	51°7'49.3"N 16°59'8.57"E	1,65	0,04	0,04	otoczenie stacji bazowej – azymut 180° wzdłuż głównej osi promieniowania
40	0,7	0,3	0,002	-	2	51°7'48.33"N 16°59'8.57"E	1,65	0,04	0,04	otoczenie stacji bazowej – azymut 180° wzdłuż głównej osi promieniowania
41	0,6	0,3	0,002	-	2	51°7'47.17"N 16°59'8.57"E	1,65	0,03	0,03	otoczenie stacji bazowej – azymut 180° wzdłuż głównej osi promieniowania
42	p.cz.*	-	-	-	2	51°7'46.14"N 16°59'8.57"E	1,65	-	-	otoczenie stacji bazowej – azymut 180° wzdłuż głównej osi promieniowania
43	p.cz.*	-	-	-	2	51°7'46.54"N 16°59'8.57"E	1,65	-	-	otoczenie stacji bazowej – azymut 180° wzdłuż głównej osi promieniowania
44	p.cz.*	-	-	-	2	51°7'45.35"N 16°59'8.57"E	1,65	-	-	otoczenie stacji bazowej – azymut 180° wzdłuż głównej osi promieniowania
45	p.cz.*	-	-	-	2	51°7'45.27"N 16°59'10.2"E	1,65	-	-	otoczenie stacji bazowej
46	p.cz.*	-	-	-	2	51°7'47.22"N 16°59'10.9"E	1,65	-	-	otoczenie stacji bazowej
47	p.cz.*	-	-	-	2	51°7'48.17"N 16°59'10.6"E	1,65	-	-	otoczenie stacji bazowej
48	0,8	0,3	0,002	-	2	51°7'50.2"N 16°59'10.41"E	1,65	0,05	0,05	otoczenie stacji bazowej
49	0,7	0,3	0,002	-	2	51°7'45.36"N 16°59'7.28"E	1,65	0,04	0,04	otoczenie stacji bazowej
50	0,9	0,4	0,002	-	2	51°7'47.48"N 16°59'7.35"E	1,65	0,05	0,05	otoczenie stacji bazowej
51	0,8	0,3	0,002	-	2	51°7'49.16"N 16°59'7.3"E	1,65	0,05	0,05	otoczenie stacji bazowej
52	0,7	0,3	0,002	-	2	51°7'51.20"N 16°59'7.35"E	1,65	0,04	0,04	otoczenie stacji bazowej
53	0,7	0,3	0,002	-	2	51°7'52.42"N 16°59'10.13"E	1,65	0,04	0,04	otoczenie stacji bazowej
54	1,0	0,4	0,003	-	2	51°7'54.3"N 16°59'7.42"E	1,65	0,06	0,06	otoczenie stacji bazowej
55	1,2	0,5	0,003	-	2	51°7'54.29"N 16°59'10.52"E	1,65	0,07	0,07	otoczenie stacji bazowej
56	1,2	0,5	0,003	-	2	51°7'55.29"N 16°59'8.59"E	1,65	0,07	0,07	otoczenie stacji bazowej
57	1,1	0,5	0,003	-	2	51°7'55.40"N 16°59'6.20"E	1,65	0,06	0,06	otoczenie stacji bazowej
58	1,0	0,4	0,003	-	2	51°7'57.20"N 16°59'6.9"E	1,65	0,06	0,06	otoczenie stacji bazowej
59	0,9	0,4	0,002	-	2	51°7'57.6"N 16°59'5.23"E	1,65	0,05	0,05	otoczenie stacji bazowej
60	1,3	0,6	0,003	-	2	51°7'57.38"N 16°59'7.54"E	1,65	0,07	0,07	otoczenie stacji bazowej
61	1,0	0,4	0,003	-	2	51°7'58.22"N 16°59'4.43"E	1,65	0,06	0,06	otoczenie stacji bazowej

nr pionu	E – wartość zmierzona	ΔE – niepewność pomiarowa	H – wartość zmierzona/obliczona	ΔH – niepewność pomiarowa	Wysokość pomiarowa	Współrzędne geograficzne	Poprawka pomiarowa	WME	WMH	Opis pionu pomiarowego
Lp.	[V/m]	[V/m]	[A/m]	[A/m]	[m]			-	-	-
62	1,2	0,5	0,003	-	2	51°7'58.30"N 16°59'7.3"E	1,65	0,07	0,07	otoczenie stacji bazowej – azymut 300° wzdłuż głównej osi promieniowania
63	1,1	0,5	0,003	-	2	51°7'58.9"N 16°59'6.16"E	1,65	0,06	0,06	otoczenie stacji bazowej – azymut 300° wzdłuż głównej osi promieniowania
64	1,0	0,4	0,003	-	2	51°7'59.3"N 16°59'5.46"E	1,65	0,06	0,06	otoczenie stacji bazowej – azymut 300° wzdłuż głównej osi promieniowania
65	0,8	0,3	0,002	-	2	51°7'59.46"N 16°59'4.47"E	1,65	0,05	0,05	otoczenie stacji bazowej – azymut 300° wzdłuż głównej osi promieniowania
66	0,7	0,3	0,002	-	2	51°8'0.22"N 16°59'3.9"E	1,65	0,04	0,04	otoczenie stacji bazowej – azymut 300° wzdłuż głównej osi promieniowania
67	0,6	0,3	0,002	-	2	51°8'0.20"N 16°59'1.28"E	1,65	0,03	0,03	otoczenie stacji bazowej – azymut 300° wzdłuż głównej osi promieniowania
68	0,5	0,2	0,001	-	2	51°8'1.55"N 16°59'0.50"E	1,65	0,03	0,03	otoczenie stacji bazowej – azymut 300° wzdłuż głównej osi promieniowania
69	0,5	0,2	0,001	-	2	51°8'1.38"N 16°58'59.52"E	1,65	0,03	0,03	otoczenie stacji bazowej – azymut 300° wzdłuż głównej osi promieniowania
70	p.cz.*	-	-	-	2	51°8'1.15"N 16°58'58.9"E	1,65	-	-	otoczenie stacji bazowej – azymut 300° wzdłuż głównej osi promieniowania
71	p.cz.*	-	-	-	2	51°8'2.56"N 16°58'57.16"E	1,65	-	-	otoczenie stacji bazowej – azymut 300° wzdłuż głównej osi promieniowania
72	p.cz.*	-	-	-	2	51°8'2.40"N 16°58'55.16"E	1,65	-	-	otoczenie stacji bazowej – azymut 300° wzdłuż głównej osi promieniowania
73	p.cz.*	-	-	-	2	51°8'3.23"N 16°58'54.17"E	1,65	-	-	otoczenie stacji bazowej – azymut 300° wzdłuż głównej osi promieniowania
74	p.cz.*	-	-	-	2	-	1,65	-	-	ul. Ślezańska 23, taras
75	p.cz.*	-	-	-	2	51°8'3.2"N 16°58'52.54"E	1,65	-	-	otoczenie stacji bazowej
76	p.cz.*	-	-	-	2	51°8'3.36"N 16°58'52.56"E	1,65	-	-	otoczenie stacji bazowej – azymut 300° wzdłuż głównej osi promieniowania
77	p.cz.*	-	-	-	2	51°8'4.46"N 16°58'53.13"E	1,65	-	-	otoczenie stacji bazowej
78	p.cz.*	-	-	-	2	-	1,65	-	-	ul. Trzebowiańska 2, parter, w oknie
79	p.cz.*	-	-	-	2	-	1,65	-	-	ul. Trzebowiańska 6, parter, w oknie
80	p.cz.*	-	-	-	2	51°8'4.50"N 16°58'55.59"E	1,65	-	-	otoczenie stacji bazowej
81	p.cz.*	-	-	-	2	51°8'3.37"N 16°58'57.15"E	1,65	-	-	otoczenie stacji bazowej
82	p.cz.*	-	-	-	2	51°8'2.53"N 16°58'54.55"E	1,65	-	-	otoczenie stacji bazowej
83	0,8	0,3	0,002	-	2	51°8'1.39"N 16°58'56.38"E	1,65	0,05	0,05	otoczenie stacji bazowej
84	0,5	0,2	0,001	-	2	51°8'2.49"N 16°58'58.49"E	1,65	0,03	0,03	otoczenie stacji bazowej
85	0,6	0,3	0,002	-	2	51°8'2.22"N 16°59'0.14"E	1,65	0,03	0,03	otoczenie stacji bazowej
86	0,7	0,3	0,002	-	2	51°8'1.59"N 16°59'3.27"E	1,65	0,04	0,04	otoczenie stacji bazowej
87	0,6	0,3	0,002	-	2	51°8'0.35"N 16°58'58.41"E	1,65	0,03	0,03	otoczenie stacji bazowej
88	0,6	0,3	0,002	-	2	51°8'0.18"N 16°59'0.43"E	1,65	0,03	0,03	otoczenie stacji bazowej
89	0,8	0,3	0,002	-	2	51°7'59.54"N 16°59'2.8"E	1,65	0,05	0,05	otoczenie stacji bazowej
90	1,0	0,4	0,003	-	2	51°8'0.17"N 16°59'6.42"E	1,65	0,06	0,06	otoczenie stacji bazowej
91	1,0	0,4	0,003	-	2	51°7'59.23"N 16°59'8.18"E	1,65	0,06	0,06	otoczenie stacji bazowej
92	1,1	0,5	0,003	-	2	51°8'0.2"N 16°59'10.53"E	1,65	0,06	0,06	otoczenie stacji bazowej
93	1,2	0,5	0,003	-	2	51°8'0.46"N 16°59'11.42"E	1,65	0,07	0,07	otoczenie stacji bazowej
94	1,0	0,4	0,003	-	2	51°7'59.25"N 16°59'9.12"E	1,65	0,06	0,06	otoczenie stacji bazowej

* poniżej czułości zestawu pomiarowego (poniżej 0,5 V/m)

GKP – główny kierunek promieniowania

PKP – pomocniczy kierunek pomiarowy

Wyniki pomiarów 80 GHz

Niepewność rozszerzona pomiaru składowej elektrycznej wynosi 53,02% przy poziomie ufności 95% i współczynniku rozszerzenia $k=2$.

Tabela 2. Zestawienie wyników

nr pionu	E – wartość zmierzona	ΔE – niepewność pomiarowa	H – wartość zmierzona/obliczona	ΔH – niepewność pomiarowa	Wysokość pomiarowa	Współrzędne geograficzne	Poprawka pomiarowa	WME	WMH	Opis pionu pomiarowego
Lp.	[V/m]	[V/m]	[A/m]	[A/m]	[m]			-	-	-
56	1,2	0,6	0,003	-	2	51°7'55.29"N 16°59'8.59"E	1,65	0,07	0,07	otoczenie stacji bazowej – PKP
57	1,1	0,6	0,003	-	2	51°7'55.40"N 16°59'6.20"E	1,65	0,07	0,07	otoczenie stacji bazowej – PKP
60	1,3	0,7	0,003	-	2	51°7'57.38"N 16°59'7.54"E	1,65	0,08	0,08	otoczenie stacji bazowej – PKP
61	1	0,5	0,003	-	2	51°7'58.22"N 16°59'4.43"E	1,65	0,06	0,06	otoczenie stacji bazowej – PKP
92	1,1	0,6	0,003	-	2	51°8'0.2"N 16°59'10.53"E	1,65	0,07	0,07	otoczenie stacji bazowej – PKP
93	1,2	0,6	0,003	-	2	51°8'0.46"N 16°59'11.42"E	1,65	0,07	0,07	otoczenie stacji bazowej – PKP

* poniżej czułości zestawu pomiarowego (poniżej 0,5 V/m)

GKP – główny kierunek promieniowania

PKP – pomocniczy kierunek pomiarowy

KONIEC UZUPEŁNIENIE DO SPRAWOZDANIA

zatwierdził:
mgr inż. Edward Szczepaniuk



opracowała:
Paulina Pietrzak

